



I-LUCE @ INFN-LNS

INFN Laser inUCEd radiation production



A facility for new radiation sources at LNS

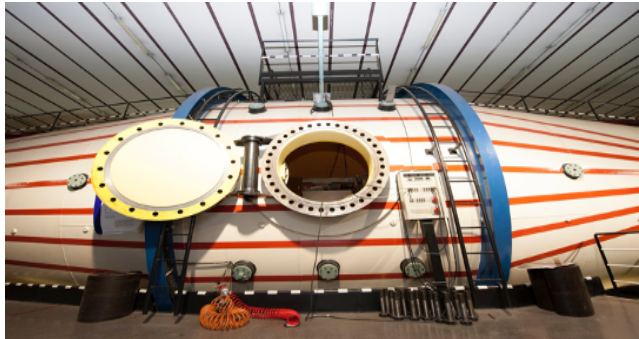
Pablo Cirrone

Istituto Nazionale di Fisica Nucleare - Laboratori Nazionali del Sud (Italy)

Accelerators and Laser at LNS

I-LUCE goals: increase the number of radiations sources at INFN-LNS and generate plasma states for basic-physics studies

3



Length: 25 m

Weight: 120 t

Max voltage: 15MV



Height: 28 m

Weight: 176 t

Max magnetic field: 4.8 T

TANDEM	
Negative ions	Injected beam intensity [nA]
1H	1500
2D	1500
6Li	250
...	
197Au	700

Superconducting cyclotron	
aX	E [MeV/amu]
H2+	62, 80
H3+	30,35,45
2D+	35,62,80
...	
208Pb	10

I-LUCE goals: increase the number of radiations sources at INFN-LNS and generate plasma states for basic-physics studies

3



Length: 25 m

Weight: 120 t

Max voltage: 15MV



Height: 28 m

Weight: 176 t

Max magnetic field: 4.8 T



Fitting in a room 9x13 m2

Power: 0.5 PW scale

Weight:

TANDEM	
Negative ions	Injected beam intensity [nA]
1H	1500
2D	1500
6Li	250
...	
197Au	700

Superconducting cyclotron	
^a X	E [MeV/amu]
H2+	62, 80
H3+	30,35,45
2D+	35,62,80
...	
208Pb	10

High power laser	
Radiation	E [MeV/amu]
Protons/ions	up to 60 MeV
Electrons	up to 2 GeV
Neutrons	Positrons
Gamma/X	Others

Main ingredients of a
laser-plasma radiation production

What ingredients do we need to produce radiation?

5



What ingredients do we need to produce radiation?

5



A laser

High power (TW - PW)

Short pulse duration (ps - fs)

A Target: thin/thick solid/liquid/gassous ...

Other useful things

High contrast laser

High quality target fabrication

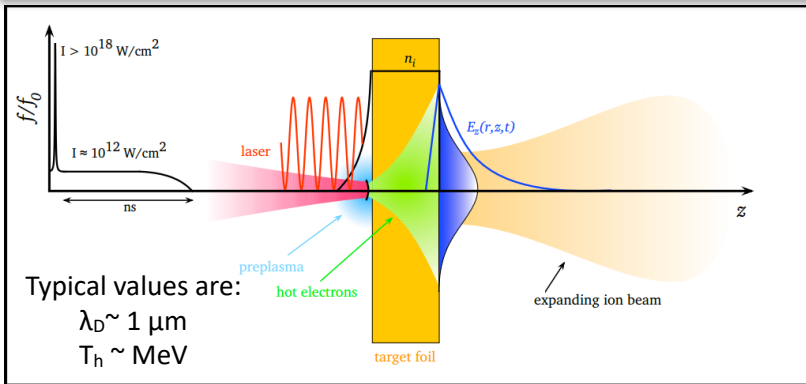
High quality wave front-end

.....

Ions, electrons, neutrons, gamma, positrons,

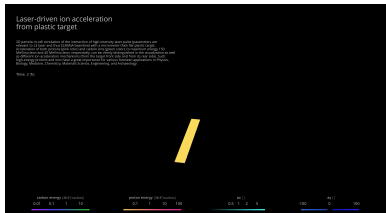
6

Ions acceleration



$$E(0) = \frac{KT_h}{e\lambda_D} = \sqrt{\frac{n_h KT_h}{\epsilon_0}}$$

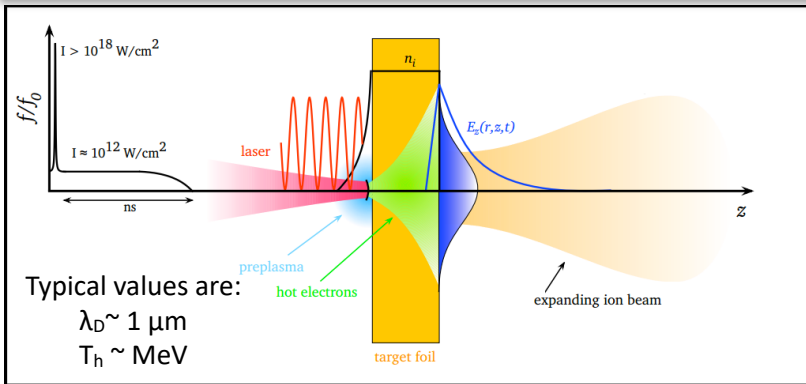
$$E(0) = \frac{10^6 V}{10^{-6} m} \sim TV/m$$



Ions, electrons, neutrons, gamma, positrons,

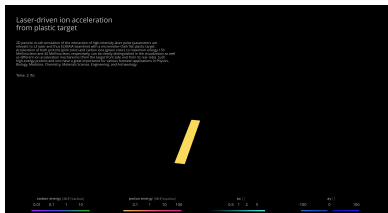
6

Ions acceleration



$$E(0) = \frac{KT_h}{e\lambda_D} = \sqrt{\frac{n_h KT_h}{\epsilon_0}}$$

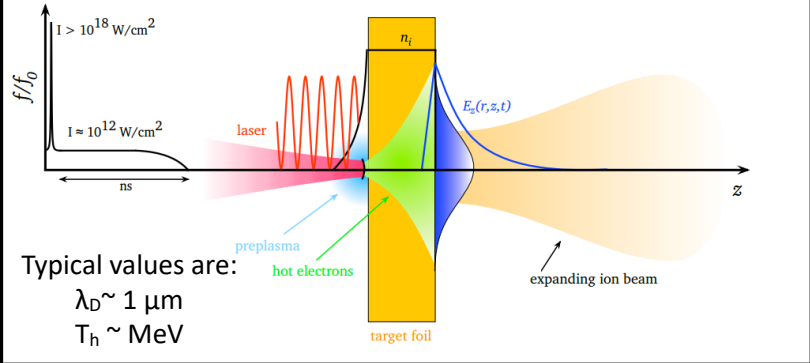
$$E(0) = \frac{10^6 V}{10^{-6} m} \sim TV/m$$



Ions, electrons, neutrons, gamma, positrons,

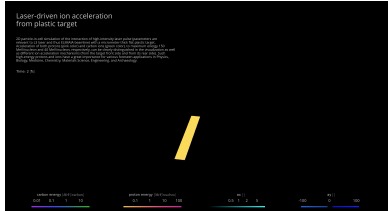
6

Ions acceleration

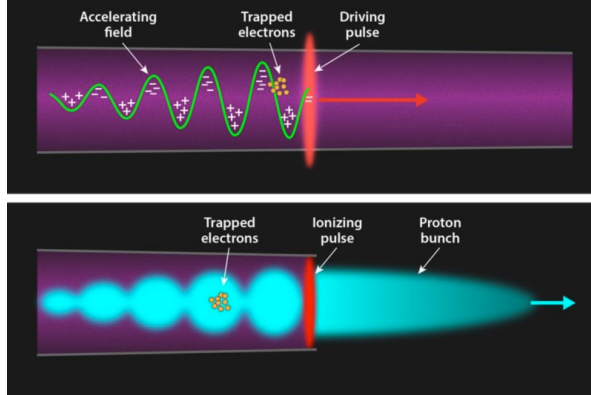


$$E(0) = \frac{KT_h}{e\lambda_D} = \sqrt{\frac{n_h K T_h}{\epsilon_0}}$$

$$E(0) = \frac{10^6 V}{10^{-6} m} \sim TV/m$$



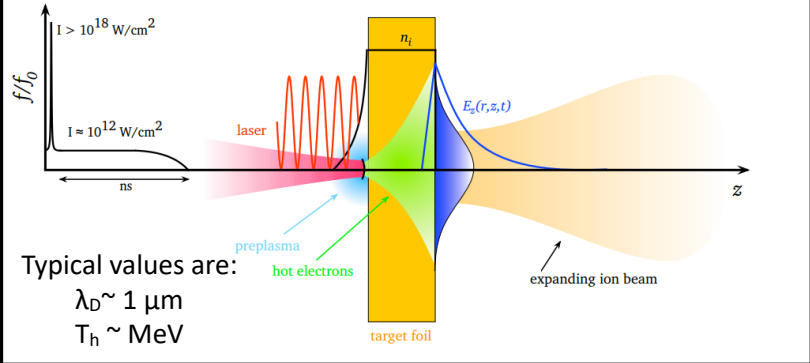
Electrons acceleration



Ions, electrons, neutrons, gamma, positrons,

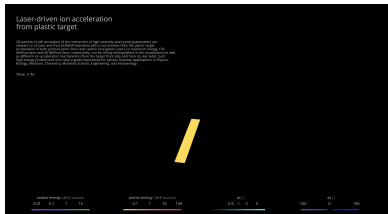
6

Ions acceleration

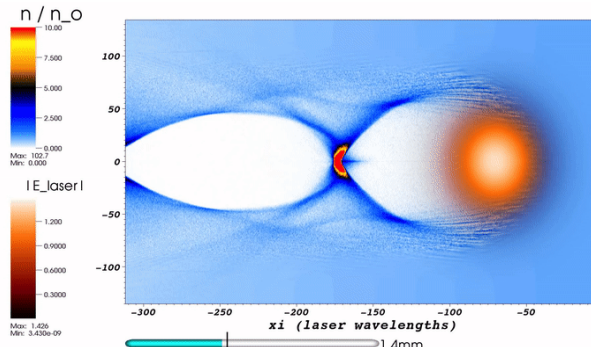
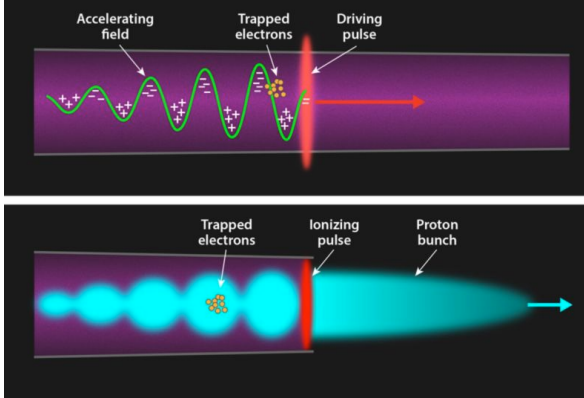


$$E(0) = \frac{KT_h}{e\lambda_D} = \sqrt{\frac{n_h K T_h}{\epsilon_0}}$$

$$E(0) = \frac{10^6 V}{10^{-6} m} \sim TV/m$$



Electrons acceleration

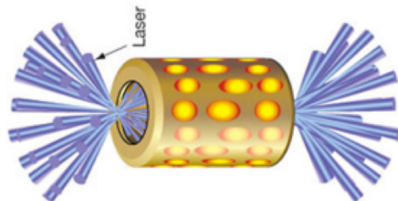
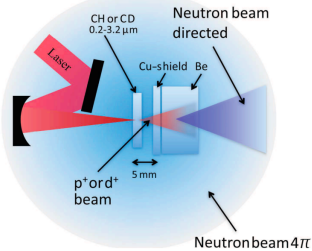


Ions, electrons, neutrons, gamma, positrons,

7

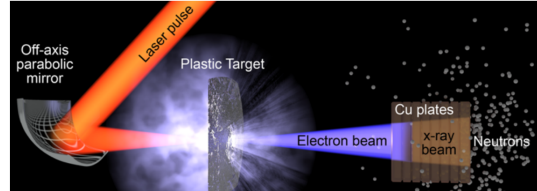
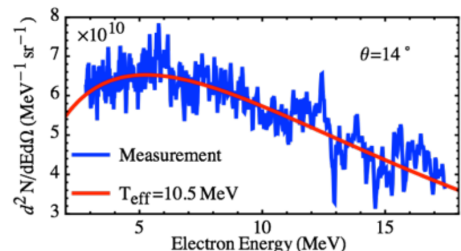
Neutrons productions

Inertial fusion processes



Proton/ion driven

Electron driven



I. Pomerantz, et al., Phys. Rev. Lett. 113, 184801 (2014)

M. Roth, et. al., Phys. Rev. Lett. 110, 044802 (2013)
 D. Jung, et. al., Phys. Plasmas 20, 056706 (2013)
 Nature Research Highlights vol. 494, 9 (2013)

C. Zulick, et al. Appl. Phys. Lett. 102, 124101 (2013)

M. Storm, et al. Phys. Plasmas 20, 053106 (2013)

I. Pomerantz, et al. Phys. Rev. Lett. 113, 184801 (2014)

Y. Arikawa, et al.
 Plasma and Fusion Research 10, 2404003 (2015)

S. Kar, et al. arXiv:1507.04511 [physics.plasm-ph] (2015)

I-LUCE

L Torrisi, S Gammino, G Cuttone, A Anzalone,
S Tudisco, G Lanzalone, A Bonasera, D Margarone, D Mascali e molti altri

2000

ECLISSE

PLAIA

2009

PLATONE

PLEIADI

LILIA

2012

ELIMED

2018

L3IA

2023

FUSION

2000 is a
breakthrough year

Discussion groups for an high-power laser acquisition
(L Calabretta et al)

PLANETA

ELIMED contract

BCT e PNNR
projects

	Laser intensity [W cm-2]	Number of protons	Max proton energy [MeV]
--	--------------------------	-------------------	-------------------------

Maksimchuk et al., 2000

3*E18

> 1E9

1.5

Clark et al., 2000

5E+19

1E+12

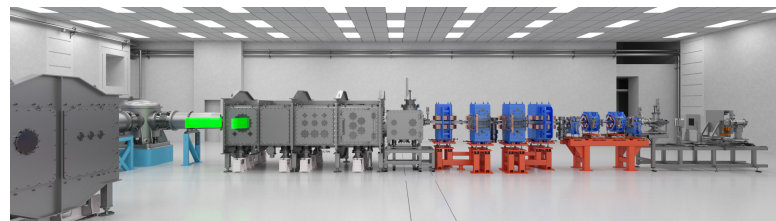
18

Snavely et al., 2000

3E+20

2E+13

58



L Torrisi, S Gammino, G Cuttone, A Anzalone,
S Tudisco, G Lanzalone, A Bonasera, D Margarone, D Mascali e molti altri

2000

2009

2012

2018

2023

ECLISSE

PLAIA

PLATONE

PLEIADI

LILIA

ELIMED

L3IA

FUSION

2000 is a
breakthrough year

Discussion groups for an high-power laser acquisition
(L Calabretta et al)

PLANETA

ELIMED contract

BCT e PNNR
projects

	Laser intensity [W cm ⁻²]	Number of protons	Max proton energy [MeV]
--	---------------------------------------	-------------------	-------------------------

Maksimchuk et al., 2000

3*E18

> 1E9

1.5

Clark et al., 2000

5E+19

1E+12

18

Snavely et al., 2000

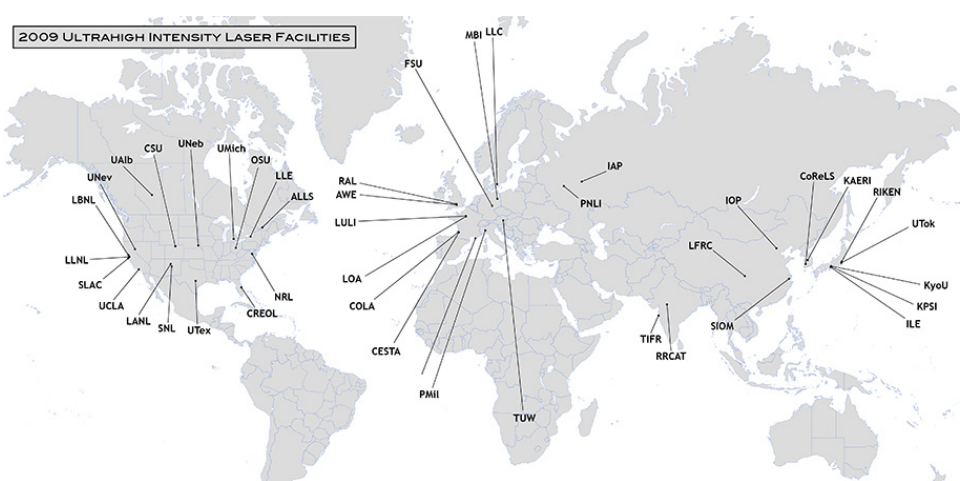
3E+20

2E+13

58



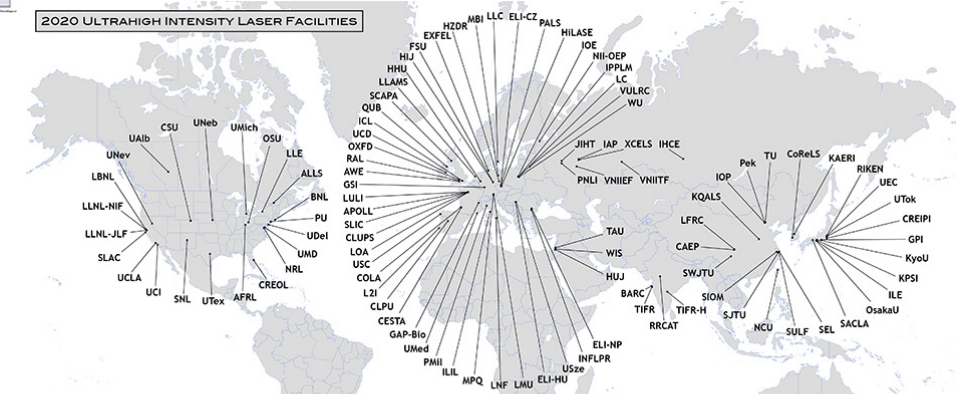
2009: 19 facilites



<https://www.icuil.org/index.php>



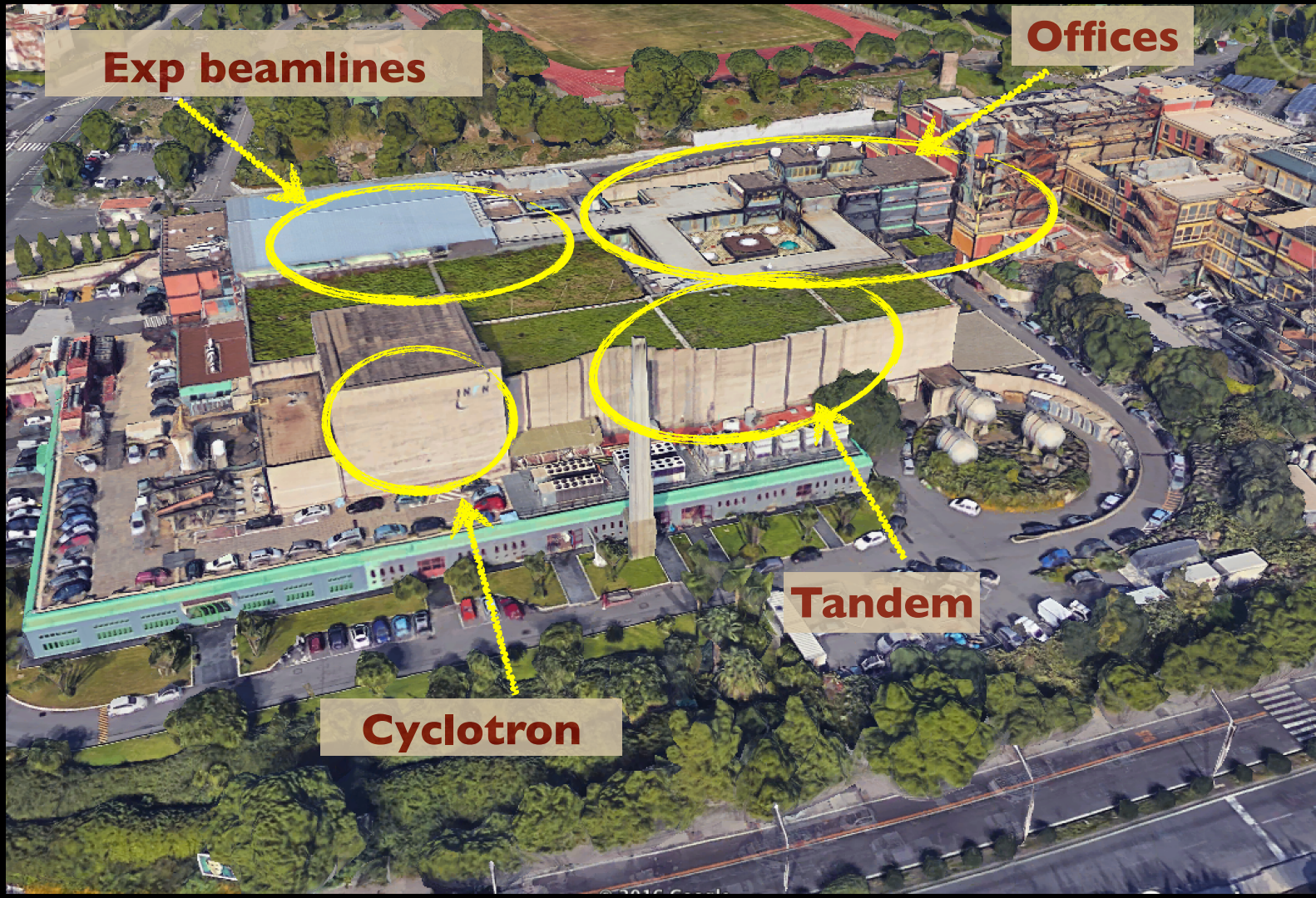
2020: 90 facilities

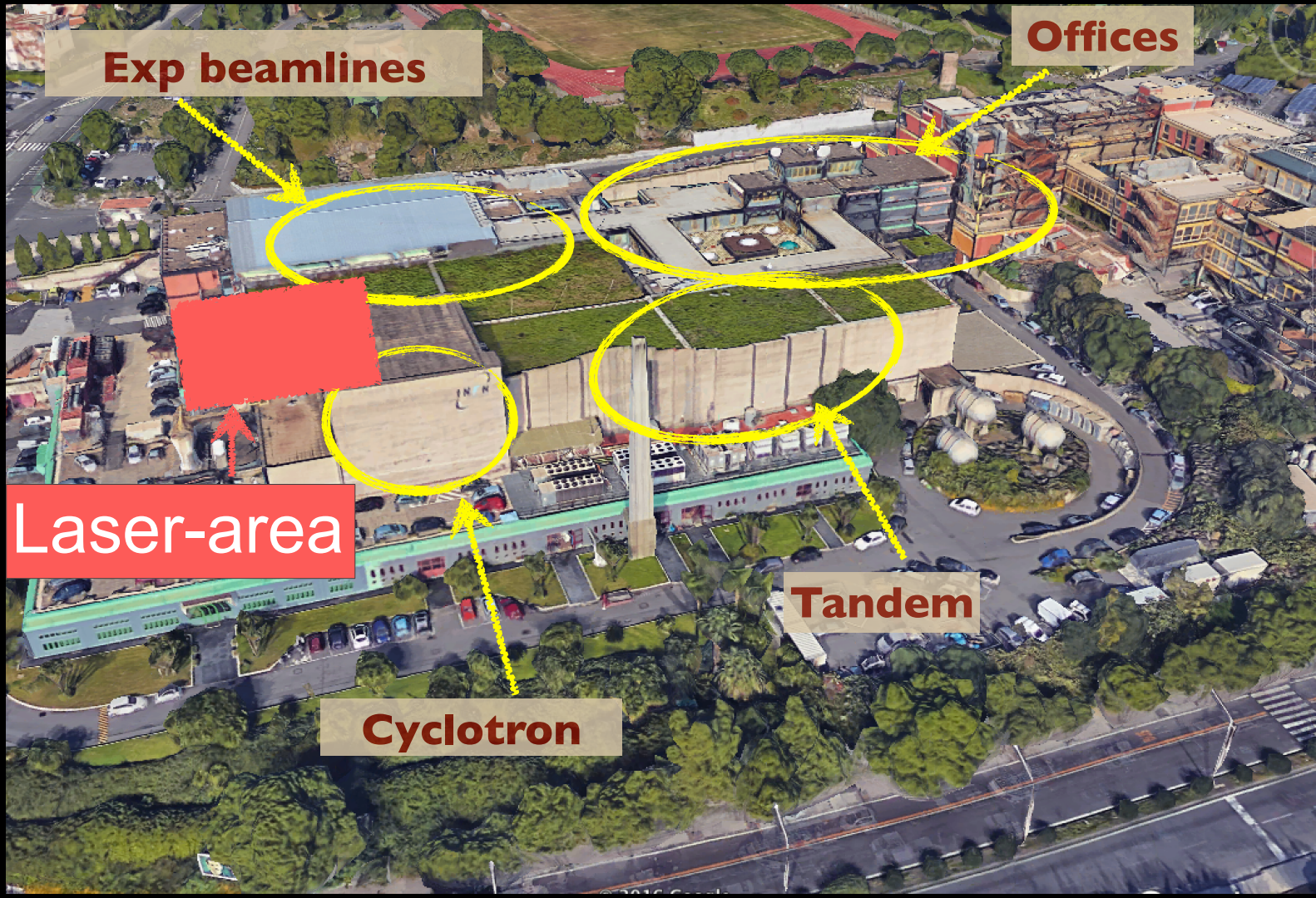




INFN - Laser indUCEd radiation production

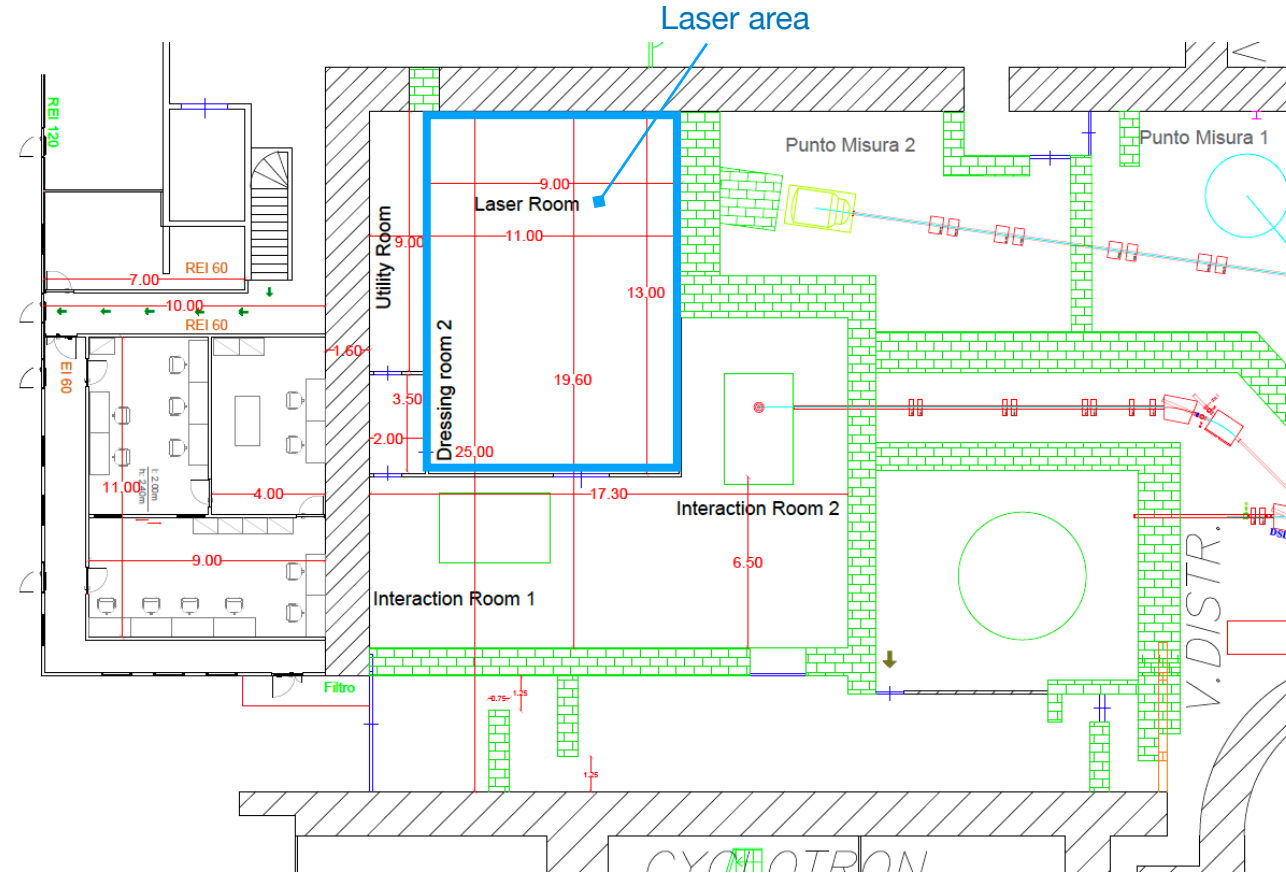
Goal: realisation of a new European laser facility for new beams, new physics and new Users





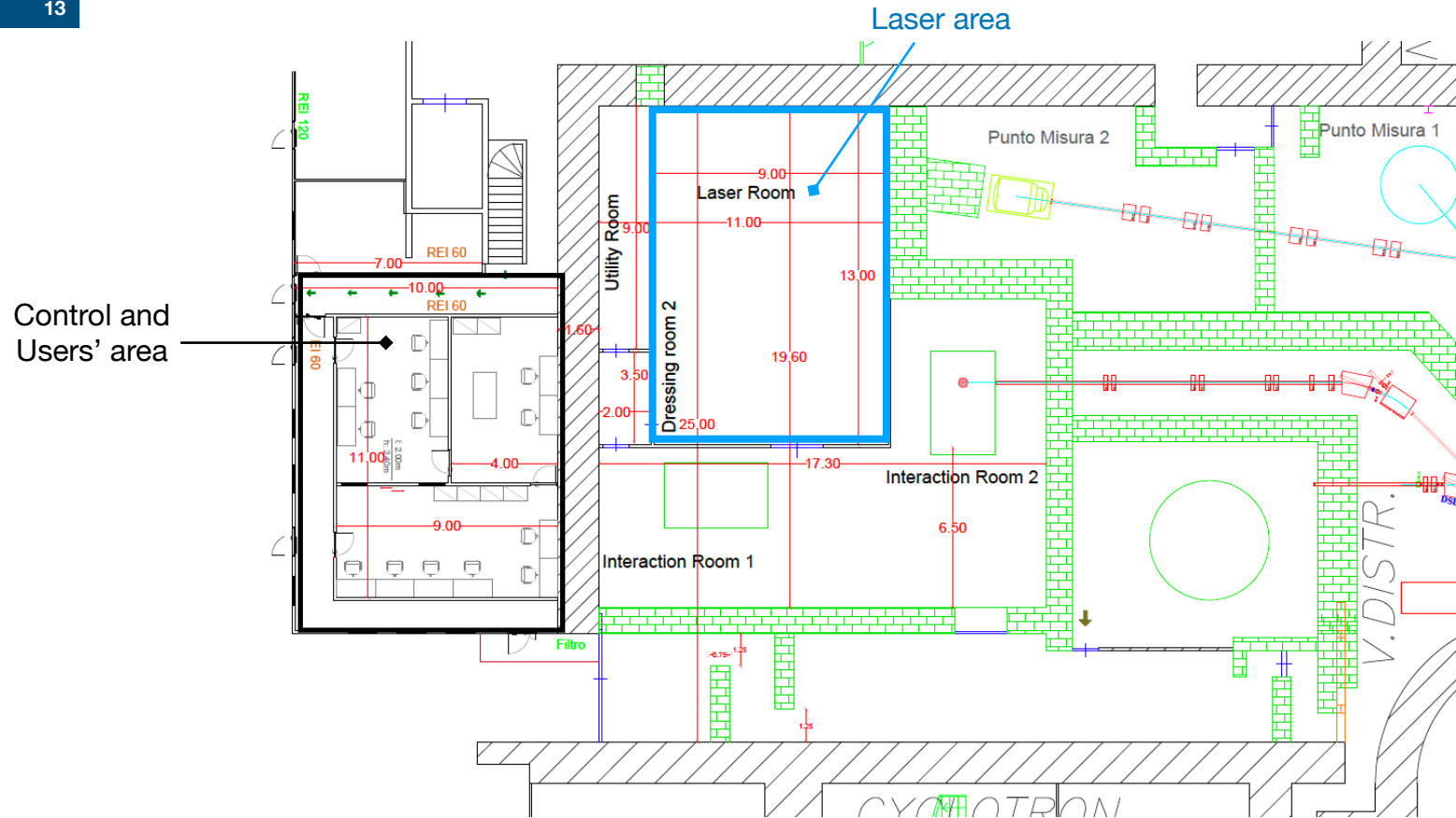
I-LUCE layout

13



I-LUCE layout

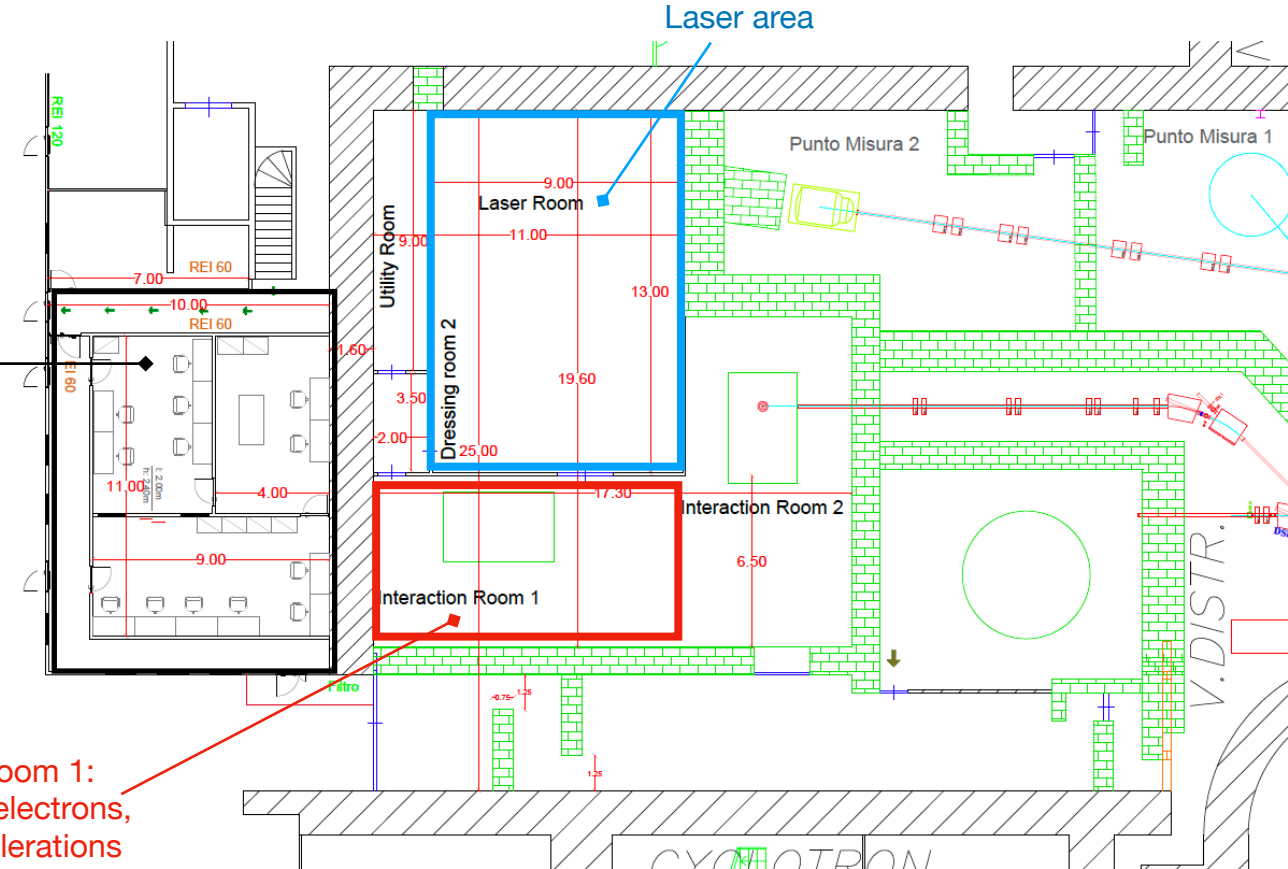
13



I-LUCE layout

13

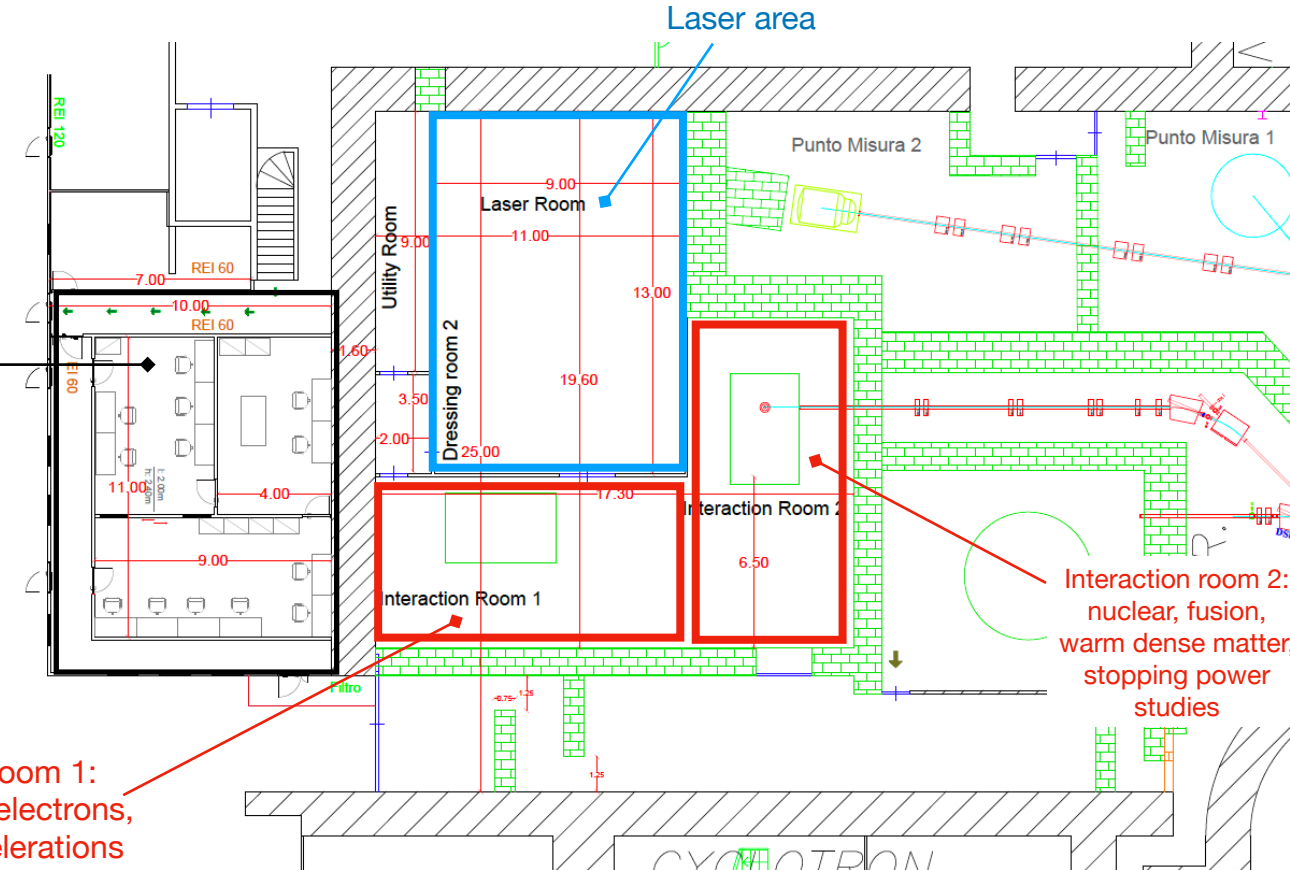
Control and
Users' area



I-LUCE layout

13

Control and Users' area



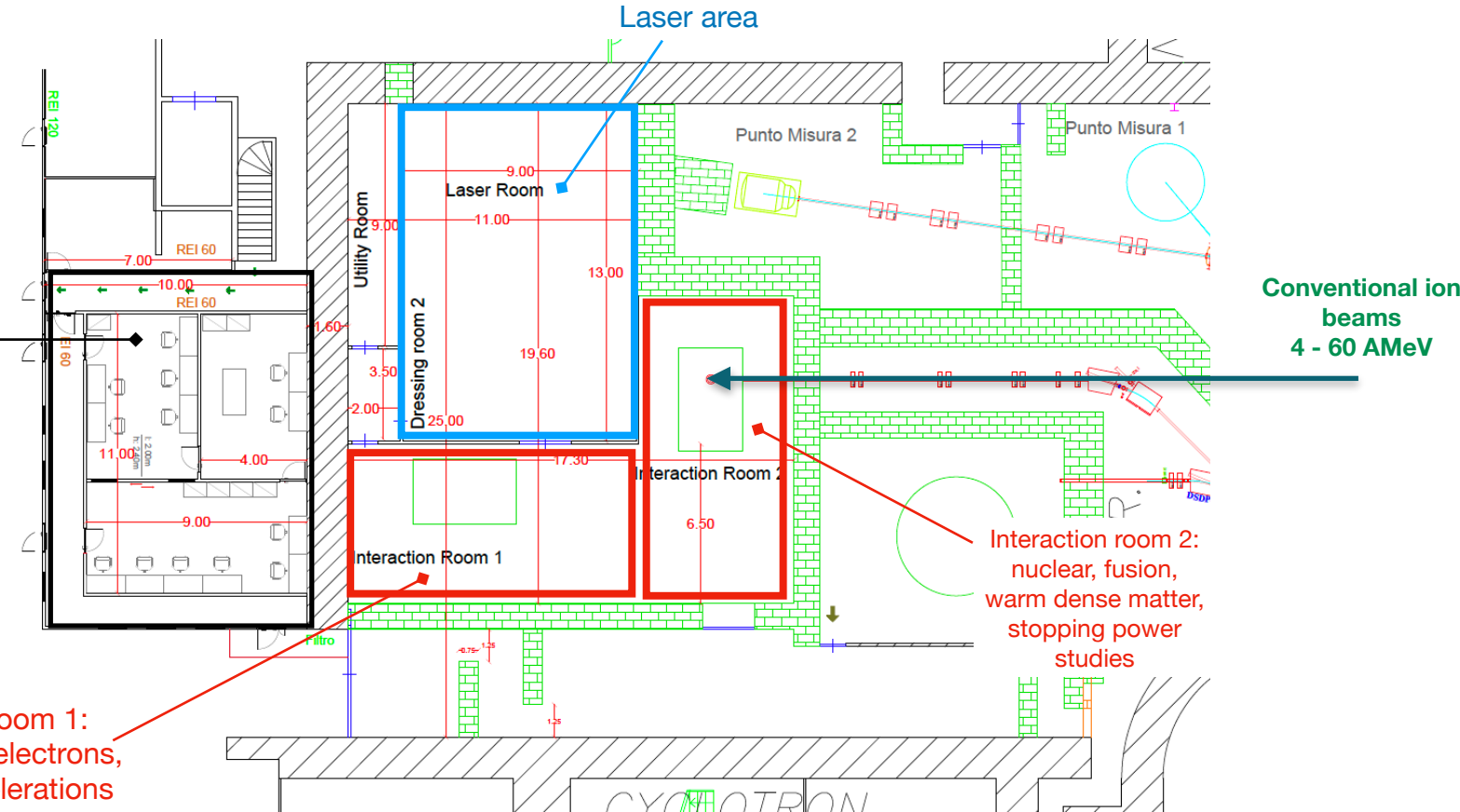
Interaction room 1:
protons, ions, electrons,
neutrons accelerations

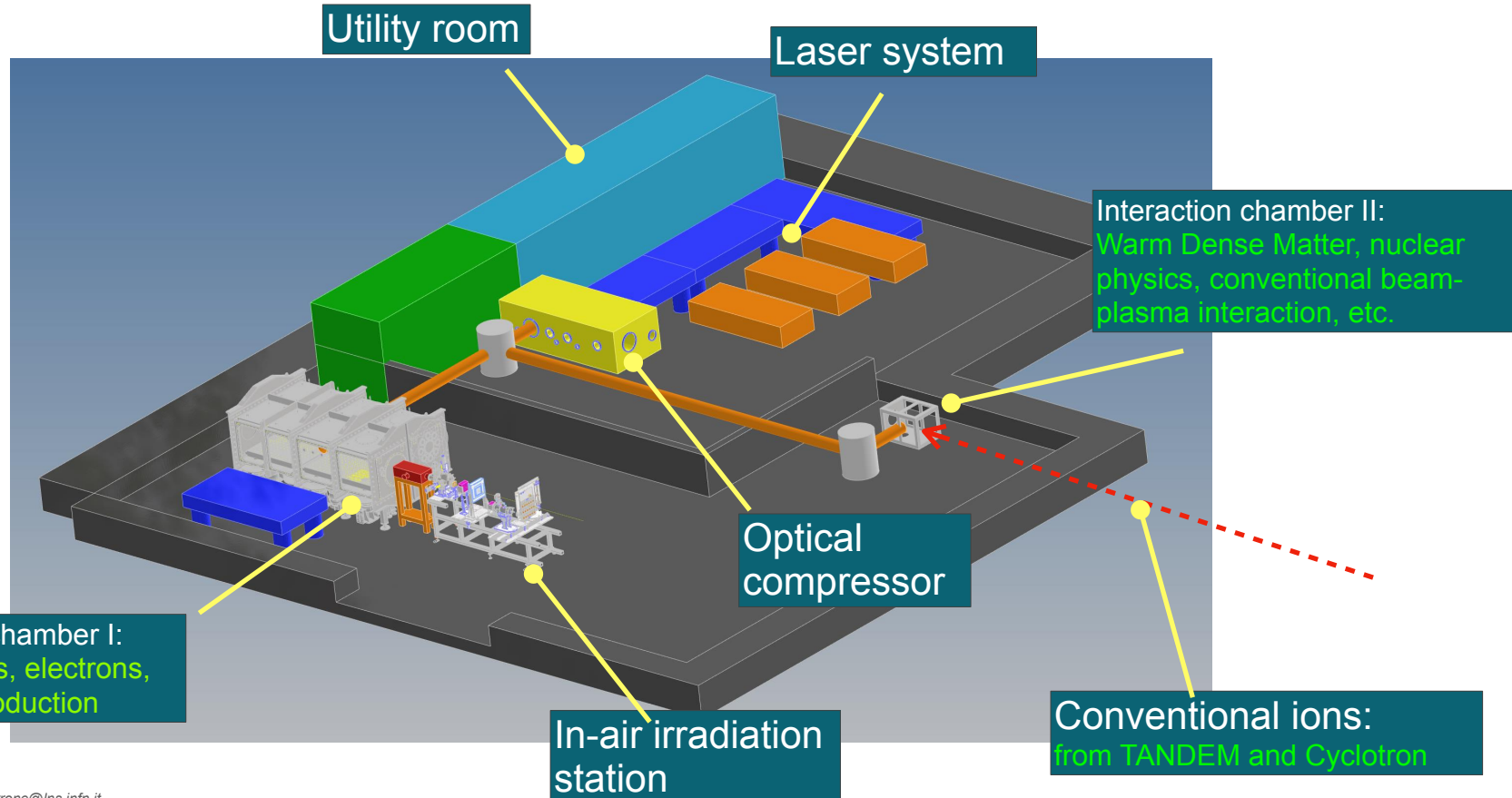
Interaction room 2:
nuclear, fusion,
warm dense matter,
stopping power
studies

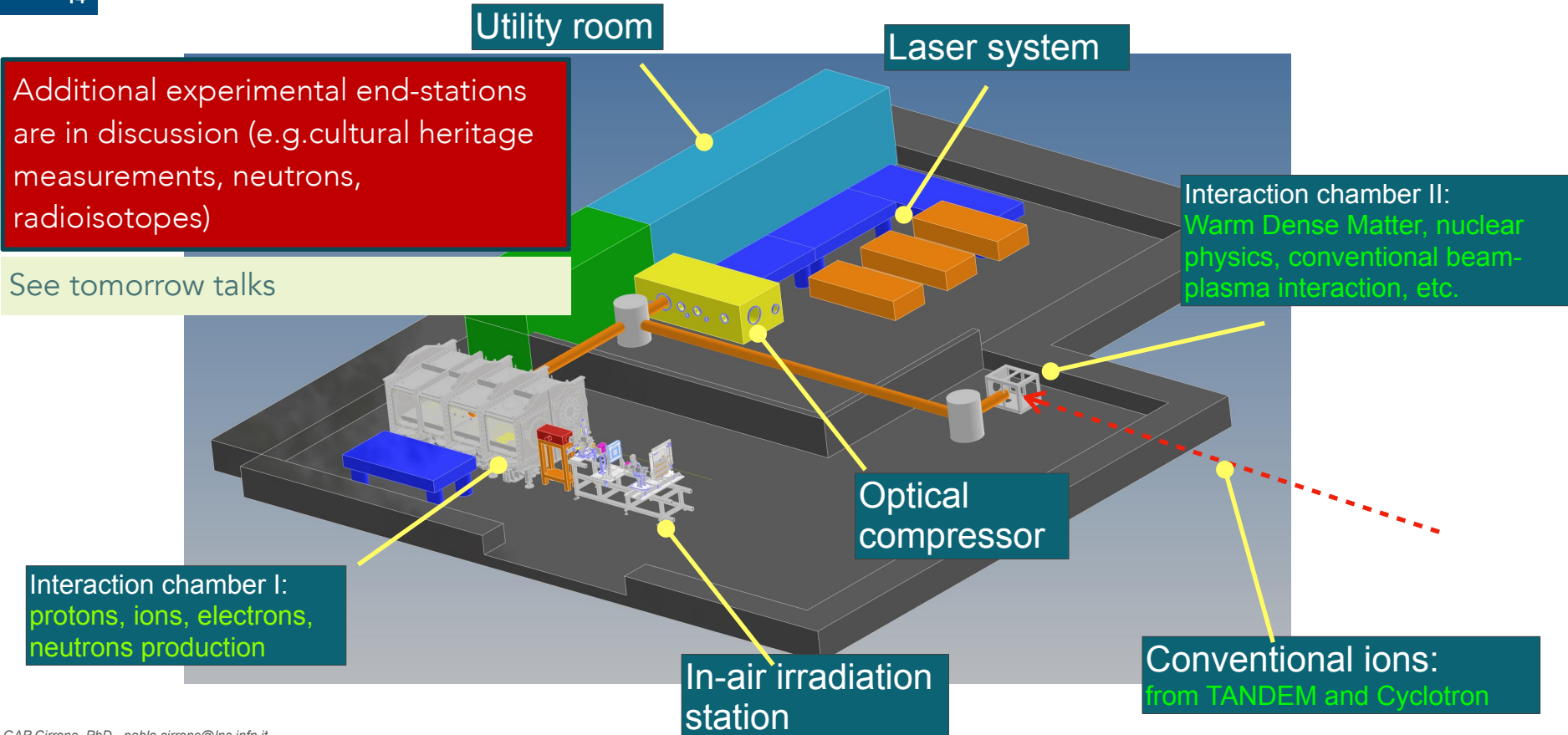
I-LUCE layout

13

Control and Users' area







The facility layout (first phase) - summary

15

Two interaction chambers

- 1) **Interaction Chamber n.1:** Radiation production (protons/ions, electrons, neutrons, gamma, etc.)
 - One in-air irradiation station for multidisciplinary studies

- 2) **Interaction Chamber n.2:** Warm Dense Matter studies (WDM)
 - Nuclear physics in plasma
 - Interaction of conventional ion beams with laser-generated plasma
 - Nuclear physics fusion studies in plasma
 -

Two working modalities

- 1) Low power: 50 TW/23fs/10Hz
- 2) High power: 350 TW/23fs/1Hz

Upgrade from 350 TW to 500 TW (0.5 M€)

Low power modality: 50 TW

16

Laser Power	$\geq 50 \text{ TW}$	
Energy per pulse	$\geq 1 \text{ J}$	
Pulse duration	$\leq 23 \text{ fs}$	
Focusing surface	$36 \mu\text{m}^2$	
Max power density (at the target)	$1.21 \cdot 10^{20}$	
$I\lambda^2$	$7.72 \cdot 10^{19}$	
Contrast ratio @100 ps (ASE)	$> 10^{10}$	
Repetition rate	$\geq 10 \text{ Hz}$	
Protons Ions	Max energy	4 MeV
	Particle per pulse (at 2 MeV)	$10^{11} \text{ MeV}^{-1} \text{ Sr}^{-1}$
	Energy spread	100%
	Beam divergency (max)	$\pm 20^\circ$
Electrons	Max energy	0.1 GeV
	Particles per pulse	10^9
	Beam divergency (max)	$\pm 20 \text{ mad}$
Neutrons	Max energy	TBD
	Particles per pulse	
	Energy spread	
	Beam divergency	
Gamma X-beams	Synchrotron radiation of the electrons inside the plasma or bremsstrahlung	
	Energy	up to 20 MeV
	Beam divergency	Directionality in the beam propagation direction

*Fusion studies,
nuclear studies,
radioisotopes production,*

.....

*Acting on the compression
procedure, the pulse duration can
be increased up to 1/10 ps:*

$$\Rightarrow 2.78 \cdot 10^{18} \text{ W/cm}^2$$

$$2.78 \cdot 10^{17} \text{ W/cm}^2$$

$$\Rightarrow i\lambda^2 = 1.77 \cdot 10^{18}$$

$$i\lambda^2 = 1.77 \cdot 10^{17}$$

Longer plasma expansion times:

- Decay studies
- Stopping powers studies
- WDM characterisation

Power densities can be improved reducing the focusing spot:

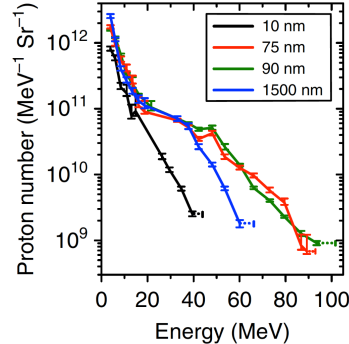
- shorter focusing parabola
- but issues related to the: target degree, back reflection, ...

High-power modality: 350 TW

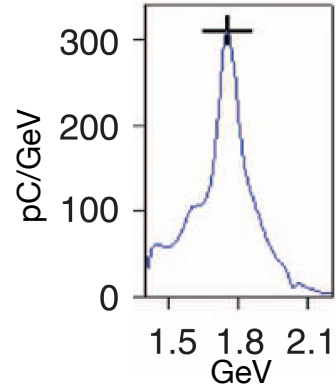
17

Laser Power	350 TW	
Energy per pulse	>7 J	
Pulse duration	≤ 25 fs	
Focusing surface	36 μm^2 or better	
Max power density (at the target)	$8.82 \cdot 10^{20}$	
$I^* \lambda^2$	$5.64 \cdot 10^{20}$	
Contrast ratio @100 ps (ASE)	$> 10^{10}$	
Repetition rate	1 Hz	
Protons Ions	Max energy	50 MeV
	Particle per pulse (at 30 MeV)	$10^{11} \text{ MeV}^{-1} \text{ Sr}^{-1}$
	Energy spread	100%
	Beam divergency (max)	±20°
Electrons	Max energy	3 GeV
	Particles per pulse	10^9
	Beam divergency (max)	± 20 mrad
Neutrons	Max energy	20 MeV
	Particles per pulse	10^{10}
	Energy spread	100
	Beam divergency	Isotropic
Gamma X-beams	Synchrotron radiation of the electrons inside the plasma or bremsstrahlung	
	Energy	up to 80 MeV
	Beam divergency	Directionality in the beam propagation

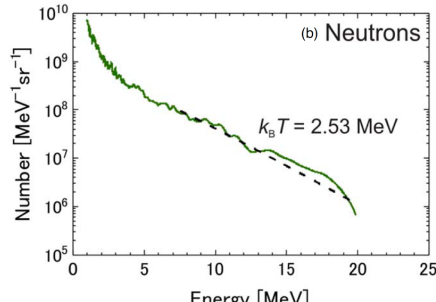
Protons spectra from A. Higginson et al. "Near-100 MeV protons via a laser-driven transparency-enhanced hybrid acceleration scheme", NATURE COMMUNICATIONS | (2018) 9:724



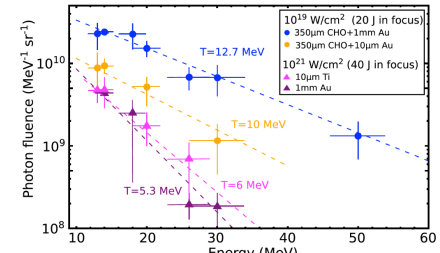
Electrons spectra from X. Wang et al. "Quasi-monoenergetic laser-plasma acceleration of electrons to 2 GeV", NATURE COMMUNICATIONS, 4:1988 2018 DOI: 10.1038/ncomms2988



Neutrons spectra from A. Yogo et al. "Single shot radiography by a bright source of laser-driven thermal neutrons and x-rays", Applied Physics Express 14, 106001 (2021)

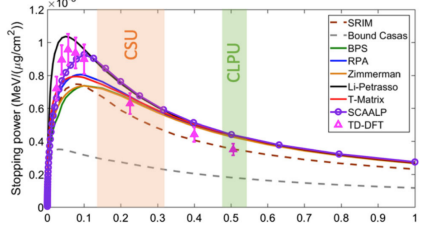


Gamma spectra from M. M. Günther et al "Forward-looking insights in laser-generated ultraintense x-ray and neutron sources for nuclear application and science" NATURE COMMUNICATIONS | (2022) 13:170

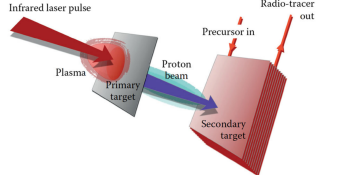


Nuclear physics mid-term plan

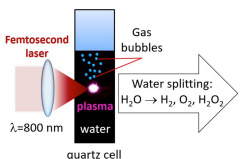
18



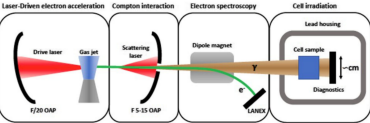
Stopping power in plasma



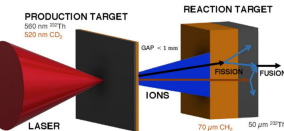
Radioisotopes



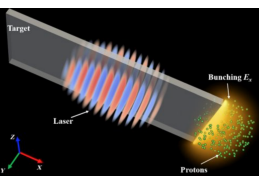
Hydrogen generation



Positrons generation



Nuclear reaction schemes



Protons and electrons generation

Chapter 6.2 Laser applications

THE EUROPEAN
PHYSICAL JOURNAL PLUS



Eur. Phys. J. Plus (2023) 138:1038
<https://doi.org/10.1140/epjp/s13360-023-04358-7>

Regular Article

Nuclear physics midterm plan at LNS

C. Agodi¹, F. Cappuzzello^{1,2}, G. Cardella³, G. A. P. Cirrone⁴, E. De Filippo⁵, A. Di Pietro¹, A. Gargano⁴, M. La Cognata^{1,6}, D. Mascalchi¹, G. Milluzzo¹, R. Nania¹, G. Petringa¹, A. Pidatella¹, S. Pirrone¹, G. G. Pizzone¹, G. G. Rapicardo^{1,2}, M. L. Sergi^{1,2}, S. Tedisco¹, J. J. Valiente-Dobón⁶, H. Abramczyc⁷, L. Acosta¹⁰, P. Adeley¹¹, S. Amaducci¹, T. Banerjee¹², D. Batanici¹², J. Bellone¹², C. Bertulani^{13,15}, H. Birj¹⁴, A. Bogachev¹⁵, A. Bonanno^{13,16}, A. Bonacossa¹², C. Borcca¹⁷, M. Borghesi¹⁸, S. Bortolusi^{19,20}, D. Boscolo¹⁰, G. A. Brischetto¹², S. Buranello^{21,22}, M. Bussi^{23,24}, S. Calaresu¹⁷, D. Calvet¹⁹, V. Capriotti^{25,26}, D. Carboni¹, A. Cardinali²⁷, G. Casini²⁸, R. Catalano¹, M. Cavallaro¹, S. Cecuzzi²⁹, L. Celona¹, S. Cimino^{1,2}, A. Chiffi^{28,30}, I. Ciraldi¹², G. Ciufo^{31,32}, M. Colonna¹, L. Cosenzino¹, G. Cutrone¹, G. D'Agata^{1,2}, G. De Gregori^{1,3}, S. Degl'Innocenti³⁴, F. Delanay^{33,35}, L. Di Donato³⁶, A. Di Nitto^{1,2}, T. Dickel^{37,38}, D. Doria^{17,39}, J. E. Ducret¹, M. Durante¹⁴, J. Esposito⁷, F. Farrokhi¹, J. P. Fernandez Garcia¹, P. Figuera¹, M. Fischella¹, Z. Fulop¹, A. Galata¹, D. Galaviz Redondo¹, D. Gambacurta¹, S. Gammino¹, E. Geraci^{1,2}, L. Gizzo⁴², B. Gnoifo^{1,2}, F. Groppi^{6,23}, G. L. Guaraldo¹, M. Guerrera¹, S. Hayakawa¹, F. Horst^{1,2}, S. Q. Hou⁴¹, A. Jarots¹, J. Jose⁴², S. Karpov¹⁵, H. Kierowska-Pawlak¹, G. G. Kiss¹⁴, G. Knayazeva¹, Koivisto⁷, B. Koop⁷, E. Kozulin¹⁴, D. Kumar^{37,38}, A. Kurmanova¹, G. La Rana^{1,8}, L. Labate⁴², L. Lamia^{1,2}, E. G. Lanza¹, J. A. Lay⁴⁰, D. Lattuada^{1,8}, H. Lenske³⁰, M. Limongi^{30,31}, M. Lipoglavsek⁵², L. Lombardo²³, A. Mairati¹, S. Manetti^{2,3}, M. Marafini¹, L. Marcucci⁴, D. Margarone³², N. S. Martorana^{1,3}, L. Manoury⁴⁰, G. S. Mauro¹, M. Mazzaglia¹, S. Mein¹, A. Mengoni³⁸, M. Milin³⁵, B. Mishra¹, L. Mou¹, J. Mrázek³⁶, P. Nadtochiy³⁷, E. Naselli¹, P. Nicolai¹², K. Novikov¹⁵, A. A. Oliva¹, A. Pagano¹, E. V. Pagano¹, S. Palmerini^{2,34}, M. Papa¹, K. Parodi⁷³, V. Patera³⁶, J. Fellum^{1,31}, P. Pradet Moroni⁴³, S. Plantier⁴², D. Pierroutsakou¹, F. Pinta³⁵, G. Politi^{1,3}, I. Postma^{19,20}, P. Prajapati⁵⁹, P. G. Prado⁴⁴, D. Raffestin², L. Racz¹⁴, C.-A. Reidd¹⁴, D. Riffuggiato¹, F. Ristitano^{3,6}, F. Rizzo^{1,8}, X. Rocca Mazzi^{61,62}, S. Romano^{1,2}, L. Rossi⁶³, F. Rotara¹⁷, A. D. Russo¹, P. Russo¹, V. Saiko¹⁵, D. Santonocito¹, E. Santopinto⁴⁴, G. Sarri¹, D. Sartirana²³, C. Schuy¹⁴, O. Sgorios¹, S. Simonuccio⁴⁵, G. Sorbelli³⁶, V. Soukeras¹, R. Sparati¹, A. Spafatara^{1,2}, M. Stanouli¹, S. Taioli^{67,68}, T. Tessmann⁷⁷, P. Thirion⁷³, E. Tognelli³⁴, D. Torresi¹, G. Torrisi¹, L. Trache¹, G. Traini⁷⁰, M. Trimarchi^{3,60}, S. Tsikata⁶⁹, A. Tunino¹⁶, J. Tykwicki¹, H. Yamaguchi⁴³, V. Vercesi^{19,20}, L. Vidana¹, L. Volpe⁴³, U. Weber¹⁴

¹ Istituto Nazionale di Fisica Nucleare, 95123 Catania, Italy

² Dipartimento di Fisica e Astronomia "Ettore Majorana", University of Catania, 95123 Catania, Italy

³ Sezione di Catania, Istituto Nazionale di Fisica Nucleare, 95123 Catania, Italy

⁴ Sezione di Napoli, Istituto Nazionale di Fisica Nucleare, 80126 Napoli, Italy

⁵ Sezione di Bologna, Istituto Nazionale di Fisica Nucleare, 40127 Bologna, Italy

⁶ Facoltà di Ingegneria e Architettura, Istituto Nazionale di Studi di Energia "Kore", 94100 Enna, Italy

⁷ Laboratori Nazionali di Legnaro, Istituto Nazionale di Fisica Nucleare, 35020 Legnaro, Italy

⁸ Dipartimento di Fisica, Università degli Studi di Perugia, Perugia, Italy

⁹ Department of Molecular Engineering, Faculty of Process and Environmental Engineering, Lodz University of Technology, 93-005 Lodz, Poland

¹⁰ Istituto di Fisica, Universidad Nacional Autónoma de México, 04510 Mexico City, Mexico

¹¹ Cyclotron Institute, Texas A&M University, College Station, TX 77840, USA

¹² Centre Lasers Intenses et Applications (CELIA), University of Bordeaux, 33400 Talence, Bordeaux, France

¹³ Department of Physics and Astronomy, Texas A&M University-Commerce, Commerce, TX 75429-3011, USA

¹⁴ Apulia, Institute of Nuclear Researches and Applications, Bari, Italy

¹⁵ Ioffe Laboratory of Nuclear Reactions, Joint Institute for Nuclear Research, Dubna, Russia 141980

¹⁶ Observatorio Astrofísico di Catania, INAF, via S.Sofia 78, 95123 Catania, Italy

¹⁷ IFIN-HH "Horia Hulubei", National Institute of Physics and Nuclear Engineering, 077125 Magurele, Romania

¹⁸ School of Mathematics and Physics, Centre for Plasma Physics, Queen's University, Belfast, Northern Ireland BT7 1NN, UK

¹⁹ Dipartimento di Fisica, Università degli Studi di Pavia, Via Aosta 5, 27100 Pavia, Italy

²⁰ Sezione di Roma, Istituto Nazionale di Fisica Nucleare, Via Eudossiana 18, 00187 Roma, Italy

²¹ Departamento de Física Atómica Molecular y Nuclear, Universidad de Sevilla, 41012 Sevilla, Spain

²² Fachbericht Physik, Institut für Kernphysik, Technische Universität Darmstadt, 61010 Darmstadt, Germany

²³ Dipartimento di Fisica e Geologia, Università di Perugia, 06126 Perugia, Italy

²⁴ Sezione di Perugia, Istituto Nazionale di Fisica Nucleare, 06125 Perugia, Italy

²⁵ Sezione di Torino, Istituto Nazionale di Fisica Nucleare, 10129 Torino, Italy

²⁶ DISAT, Politecnico di Torino, 10129 Torino, Italy

²⁷ FSN Department, INFN, DTT S.C.a.r.l., 00044 Frascati, Italy

²⁸ Sezione di Firenze, Istituto Nazionale di Fisica Nucleare, 50019 Sesto Fiorentino (FI), Italy

²⁹ ENEA, DTT S.C.a.r.l., 00044 Frascati, Italy

I-LUCE organisation

19

WP	Activity	Responsible
1	Laser systems and management	Josè Suarez
2	Laser transport and interaction	Carmen Altana
2a	Protons/ions production	Giada Petringa and Roberto catalano
2b	Electrons productions	Sahar Arjmand
3	Secondary beam transport, diagnostic, dosimetry, analysis	Alfio Pappalardo
4	Control system	Giada Petringa
5	Electromagnetic pulse and its mitigation	Danilo Bonanno
6	Tenders and personnel	Roberto Catalano

Giuseppe Angemi, Giovanni Cantone, Enrico Caruso, Orsola Giampiccolo, Alessandro Pizzino
with the BCT project, supporting the experimental activity

Financial support



Roma TV, LNF, Pisa CNR, LNS
15 M€



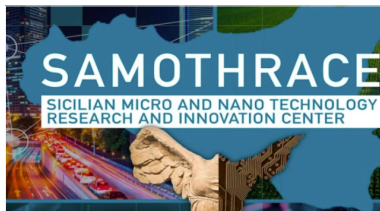
7.9 M€ **WP3** High-Power lasers

Infrastructure

Laser system and interaction chambers

Electrons and ion acceleration

GAP Cirrone



0.8 M€

Demonstration of a micro-acceleration system
for laser-driven proton beams

S Tudisco



Advanced technologies
for Human Centred
Medicine

Anthem

23 Istituti; Spoke 4: Caserta, Pavia, INFN

GAP Cirrone, G Cuttome

1.3 M€

Electron acceleration for conventional and ultra high dose rate beams nell'accelerazione di elettroni e UHDR

BCT

*Breast Cancer
Therapy*

2.0 M€

G Cuttome, GAP Cirrone

Ottimizzazione nella selezione di fasci
di protoni per applicazioni mediche

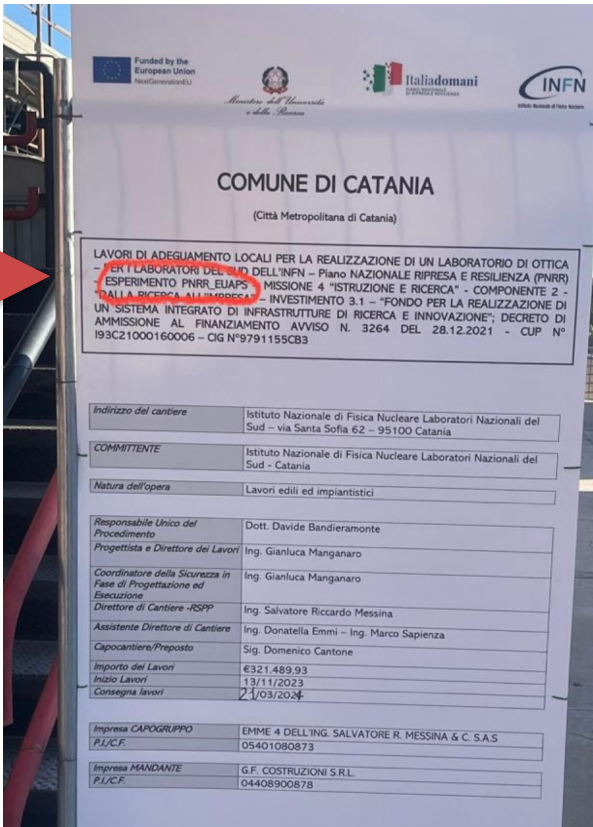
See talks by Giacomo Cuttome

Status

21

Tender	Status	Project
Control room and optical laboratory	Assigned/working ongoing	EuAPS
Laser system	Assigned (contract to be signed)	EuAPS
Interaction chamber for radiation production	Assigned (contract to be signed)	EuAPS
Clean rom and interaction area	Waiting for the assignment	EuAPS
Target tower for proton acceleration	Tender started	SAMOTHARACE
Optical tables	tbd	EuAPS
Laser beam transport design	Technical specifications under definition	SAMOTHARACE
Laser beam transport realisation	Technical specifications under definition	SAMOTHARACE
Target system for electron acceleration	Technical specifications under definitions	ANTHEM
.....

Control room and
optical laboratory
are almost ready!



Take-to-home message

23



Take-to-home message

23



New radiation beams, complementary to the existing ones

New basic physics studies complementary to other apparatus in realisation (ex PANDORA)

A new European facility with unique features

Thanks to ...

Daniele (ELI), Fabrizio (ENEA), Marco (QUB), Domenico (QUB e ELI), Tadzio (INO), Lorenzo (ELI), Luca (INO-CNR), Luca (CPLU), Leo (INO-CNR), Antonino (FBK), Joseph (AVCR-CAS), Roberto (ELI), and many others

Thanks to ...

Daniele (ELI), Fabrizio (ENEA), Marco (QUB), Domenico (QUB e ELI), Tadzio (INO), Lorenzo (ELI), Luca (INO-CNR), Luca (CPLU), Leo (INO-CNR), Antonino (FBK), Joseph (AVCR-CAS), Roberto (ELI), and many others

The LNS with its Directors and Divisions and all the
colleagues that participated to the activities
... and are participating, indeed

Thanks to ...

The LNS with its Directors and Divisions and all the
colleagues that participated to the activities
... and are participating, indeed

Daniele (ELI), Fabrizio (ENEA), Marco (QUB), Domenico (QUB
e ELI), Tadzio (INO), Lorenzo (ELI), Luca (INO-CNR), Luca
(CPLU), Leo (INO-CNR), Antonino (FBK), Joseph (AVCR-CAS),
Roberto (ELI), and many others

David Mascali et coll.

Gigi Cosentino et coll.

Marco La Cognata et coll.

Salvo Tudisco et coll.

Thanks to ...

Daniele (ELI), Fabrizio (ENEA), Marco (QUB), Domenico (QUB e ELI), Tadzio (INO), Lorenzo (ELI), Luca (INO-CNR), Luca (CPLU), Leo (INO-CNR), Antonino (FBK), Joseph (AVCR-CAS), Roberto (ELI), and many others

The LNS with its Directors and Divisions and all the
colleagues that participated to the activities
... and are participating, indeed

David Mascali et coll.

Gigi Cosentino et coll.

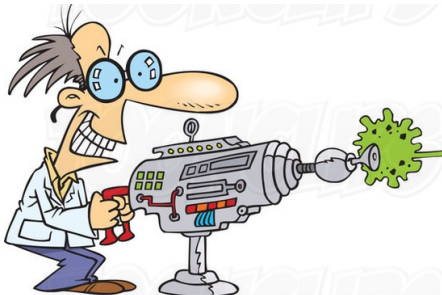
Marco La Cognata et coll.

Salvo Tudisco et coll.



December 18, 2023

Thanks for Listening



Una possibilità unica per la fisica dei nostri Laboratori

26

Studio della Warm Dense Matter dalla interazione ioni (anche/soprattutto di bassa energia) e plasma

Fisica del plasma: informazioni sul comportamento delle particelle cariche in questo stato e sulle proprietà globali del plasma stesso.

Fusione nucleare: l'interazione di fasci di ioni con un plasma può essere utilizzata per studiare la fusione nucleare controllata. La fusione nucleare è una possibile fonte di energia nel futuro e coinvolge la fusione di nuclei leggeri per formare nuclei più pesanti, rilasciando una grande quantità di energia. Lo studio dell'interazione dei fasci di ioni con un plasma può contribuire alla comprensione delle condizioni necessarie per raggiungere e mantenere una reazione di fusione nucleare stabile.

Fisica delle collisioni atomiche: l'interazione tra ioni di bassa energia e plasmi può fornire informazioni sulla fisica delle collisioni atomiche. Ciò include lo studio delle collisioni tra ioni e atomi neutri nel plasma, nonché le collisioni tra particelle cariche all'interno del plasma stesso. Questi studi possono rivelare importanti informazioni **sulle sezioni d'urto di collisione, l'energia di eccitazione e ionizzazione degli atomi**, i processi di scambio di energia e quant'altro.

Processi di scattering: questi processi coinvolgono la deviazione di particelle cariche da parte di altre particelle o campi all'interno del plasma. L'analisi del processo di scattering può fornire informazioni sulla struttura interna del plasma, nonché sulle forze elettriche e magnetiche che agiscono sulle particelle.

Ionizzazione e ricombinazione: lo studio di questi processi può fornire informazioni sulle sezioni d'urto di ionizzazione e ricombinazione, nonché sulle rate di reazione in diverse condizioni di plasma.

Eccitazione atomica e spettroscopia: studio della eccitazione degli atomi nel plasma e la conseguente emissione di radiazione. Questo può includere lo studio della spettroscopia di emissione del plasma, che fornisce informazioni sulla struttura atomica e molecolare all'interno del plasma stesso.

Una possibilità unica per la fisica dei nostri Laboratori

27

Studio della Warm Dense Matter dalla interazione ioni (anche/soprattutto di bassa energia) e plasma

Eccitazione atomica e spettroscopia: l'interazione tra ioni di bassa energia e plasmi può essere utilizzata per studiare l'eccitazione degli atomi nel plasma e la conseguente emissione di radiazione. Questo può includere lo studio della spettroscopia di emissione del plasma, che fornisce informazioni sulla struttura atomica e molecolare all'interno del plasma stesso.

Risonanze di plasma: gli ioni nel plasma possono interagire con le onde elettromagnetiche generate dal plasma stesso. Queste interazioni possono portare alla formazione di risonanze di plasma, in cui l'energia viene scambiata tra le particelle cariche e l'onda elettromagnetica. Lo studio di queste risonanze può fornire informazioni sulle proprietà del plasma e sulle interazioni particella-onda.

Oscillazioni elettrostatiche: gli ioni nel plasma possono partecipare a oscillazioni elettrostatiche, come le onde di Langmuir, in cui le particelle cariche si muovono sincronicamente sotto l'influenza delle forze elettriche. Lo studio di queste oscillazioni può contribuire alla comprensione delle proprietà di trasporto e delle caratteristiche dinamiche del plasma.

Onde elettromagnetiche: l'interazione tra ioni e plasmi può portare alla generazione e alla propagazione di onde elettromagnetiche nel plasma. Queste onde possono includere onde di plasma, onde di Langmuir, onde di Alfvén e onde elettromagnetiche più complesse. Lo studio di queste onde può fornire informazioni sulle proprietà del plasma, sull'assorbimento e sulla dispersione delle onde elettromagnetiche e sulle interazioni con le particelle cariche.

scientific reports

Explore content ▾ About the journal ▾ Publish with us ▾

nature > scientific reports > articles > article

Article | Open Access | Published: 01 October 2018

Experimental evidence for the enhanced and reduced stopping regimes for protons propagating through hot plasmas

S. N. Chen , S. Atzeni, T. Gangolf, M. Gauthier, D. P. Higginson, R. Hua, J. Kim, F. Mangia, C. McGuffey, J.-R. Marquès, R. Riquier, H. Pépin, R. Shepherd, O. Willi, F. N. Beg, C. Deutsch & J. Fuchs

Scientific Reports **8**, Article number: 14586 (2018) | Cite this article

2864 Accesses | 11 Citations | Metrics

I fondi PNRR a
nostra disposizione

Supporto per la costruzione e il mantenimento di I-LUCE

29

Divisione Ricerca

- Reparto Gestione e manutenzione apparati sperimentali
- Reparto Laboratorio di tecniche chimico fisiche
- Reparto Elettronica e rivelatori

Divisione Acceleratori

- Reparto Vuoto
- Reparto Elettronica, convertitori di potenza, diagnostica ed automazioni
- Reparto Sistemi informatici
- Reparto dispositivi meccanici
- Reparto operazione e conduzione degli acceleratori
- Reparto progettazione meccanica
- Reparto metrologia, linee di fascio e allineamenti

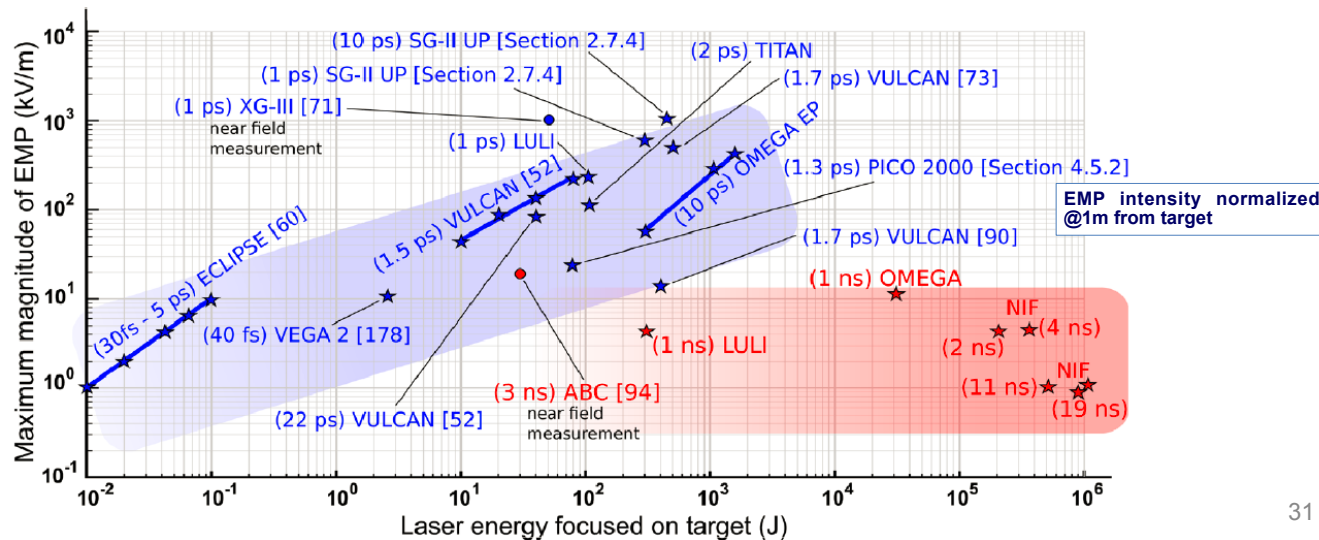
Divisione Tecnica

Gestione laser	2 Tecnologi
Trasporto del laser ed interazione	2 Tecnologi
Diagnistica di plasma e di fasci, preparazione esperimenti	2 Tecnologi
Elettronica e acquisizione	
Allineamenti, laser management	Servizi e reparti LNS
Sviluppo target	
Rumore elettromagnetico e mitigazione	Gruppo lavoro I
Sistema di controllo	Gruppo lavoro II
	Gruppo lavoro X

Backups

Impulsi elettromagnetici generati da interazione laser materia

- Impulsi elettromagnetici (electromagnetic pulses: EMPs) sono classicamente generati da interazioni laser materia ad alta intensità, con impulsi laser dal nanosecondo giù fino al femtosecondo
- Si ottengono intensità fino all'ordine del MV/m e anche oltre, alla distanza dal target di 1 m, e un ampio range di frequenze che vanno dall'ordine del MHz fino al THz
- Sono pertanto riconosciuti come un serio pericolo per l'elettronica, i computer, gli strumenti di diagnostica impiegati nella camera sperimentale, ma anche fuori. E ovviamente è importante confinarli adeguatamente perché non agiscano sul personale



Impulsi elettromagnetici generati da interazione laser materia

- E' quindi di estrema importanza
 - definire delle metodologie per minimizzare tali campi elettromagnetici
 - implementare delle soluzioni che
 - confinino il più possibile i campi in zone in cui non ci sia personale
 - minimizzino le intensità dei campi nelle zone in cui il personale è presente, per rispettare i valori di soglia della normativa
 - consentano il corretto funzionamento dell'elettronica e dei dispositivi di diagnostica impiegati
 - a tal fine la minimizzazione dei campi è certamente di primaria importanza
 - impiegando elettronica e dispositivi con alta schermatura ai campi elettromagnetici
 - Impiegare sensori calibrati che garantiscano il monitoraggio del rispetto delle soglie della normativa per il personale e per le condizioni sostenibili dall'elettronica impiegata.
 - E' possibile provvedere in maniera adeguata alle operazioni elencate per la protezione del personale e dell'elettronica, come fatto dalle facility laser ad alta intensità operanti oggigiorno nel panorama mondiale e per quelle al momento in fase di costruzione
 - È importante provvedere ben prima della costruzione della facility alla parallela definizione ed implementazione di metodologie di adeguata schermatura e minimizzazione dei campi elettromagnetici

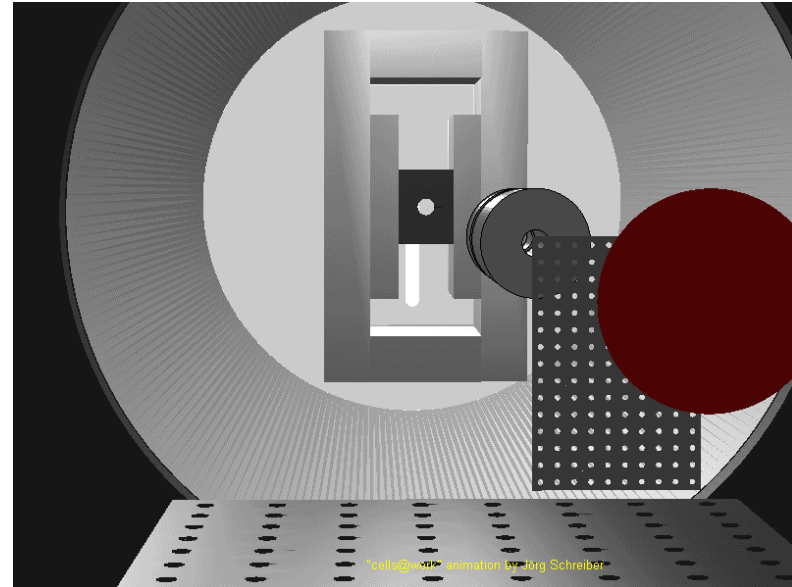
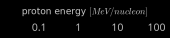
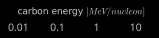
Come avviene l'accelerazione dei protoni e degli ioni

33

Laser-driven ion acceleration from plastic target

2D particle-in-cell simulation of the interaction of high-intensity laser pulse (parameters are relevant to a linear driver ELMC) with a microstructured flat plastic target. Acceleration of bare protons (red color) and carbon ions (green color), to initial energy 150 MeV/nucleon and 40 MeV/nucleon, respectively, can be clearly distinguished in the visualization as well as different ion acceleration mechanisms (from the target front side and from its rear side). Such high-energy protons and ions have a great importance for various foreseen applications in Physics, Biology, Medicine, Chemistry, Materials Science, Engineering, and Archaeology.

Time: 2 [fs]



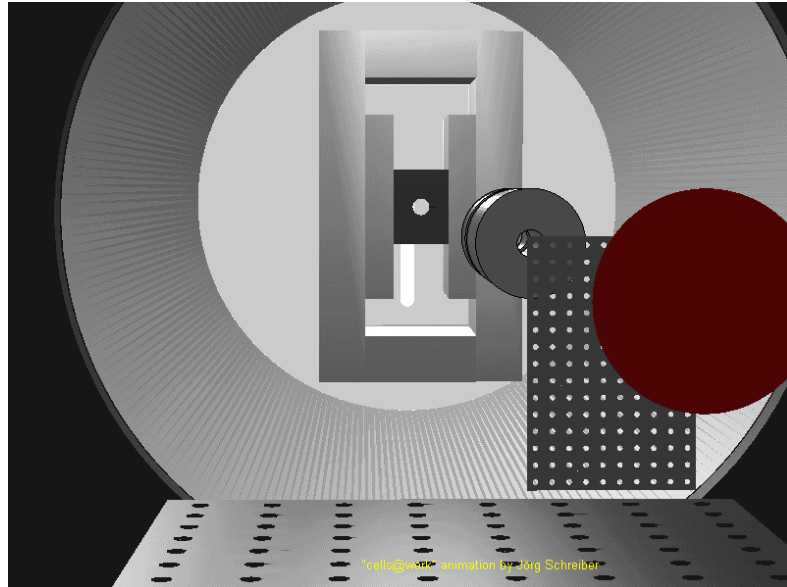
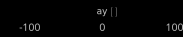
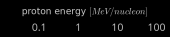
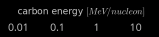
Come avviene l'accelerazione dei protoni e degli ioni

33

Laser-driven ion acceleration from plastic target

2D particle-in-cell simulation of the interaction of high-intensity laser pulse (parameters are relevant to a linear driver ELMC) with a microstructured flat plastic target. Acceleration of bare protons (red color) and carbon ions (green color), to initial energy 150 MeV/nucleon and 40 MeV/nucleon, respectively, can be clearly distinguished in the visualization as well as different ion acceleration mechanisms (from the target front side and from its rear side). Such high-energy protons and ions have a great importance for various foreseen applications in Physics, Biology, Medicine, Chemistry, Materials Science, Engineering, and Archaeology.

Time: 2 [fs]



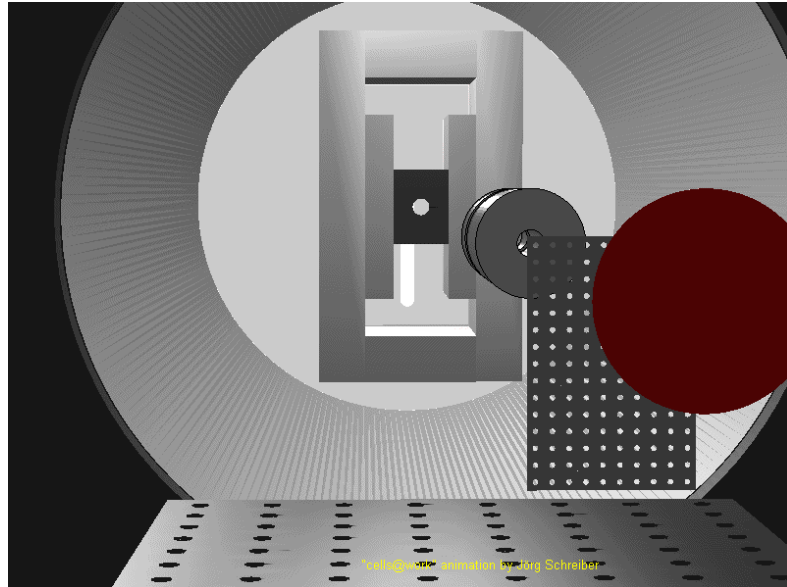
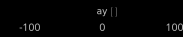
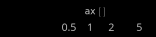
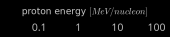
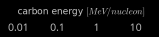
Come avviene l'accelerazione dei protoni e degli ioni

33

Laser-driven ion acceleration from plastic target

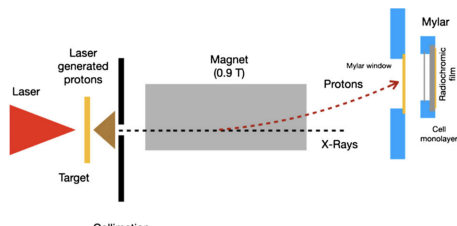
2D particle-in-cell simulation of the interaction of high-intensity laser pulse (parameters are relevant to a linear driver ELMC) with a microstructured flat plastic target. Acceleration of bare protons (red color) and carbon ions (green color), to initial energy 150 MeV/nucleon and 40 MeV/nucleon, respectively, can be clearly distinguished in the visualization as well as different ion acceleration mechanisms (from the target front side and from its rear side). Such high-energy protons and ions have a great importance for various foreseen applications in Physics, Biology, Medicine, Chemistry, Materials Science, Engineering, and Archaeology.

Time: 2 [fs]



Soluzioni adottate per selezionare i fasci di protoni

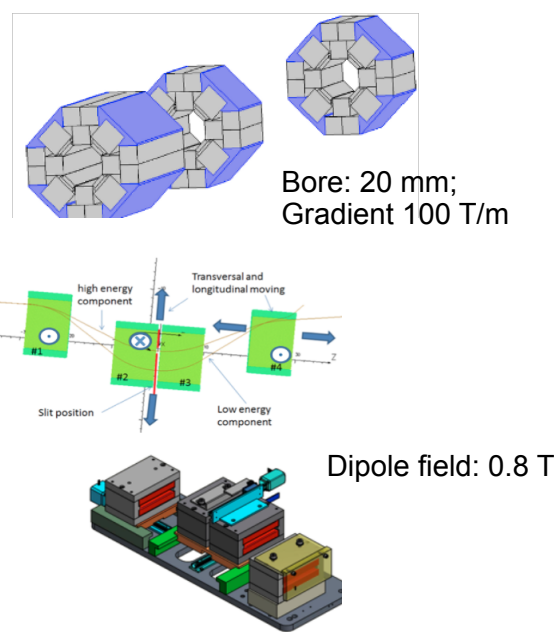
34



Dipole field: 0.9 T
Length: 100 mm
Energy selection:
up to 30 MeV proton

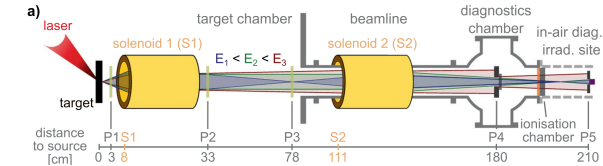
Single dipole for energy selection

F Hanton, et al.
Scientific Reports 9, 4471 (2019)

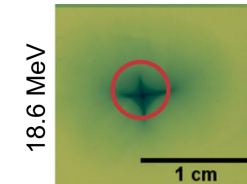
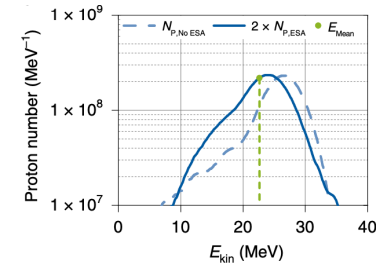


Quadrupoles + energy selector
Transport up to 30 MeV with an
energy revolution of 5 %

F Schillaci, et al.
NIMA, 837, 80-87 (2016)



On-axis magnetic field up to 19.5 T
Rep rate: up to 3 pulse per minute



Pulsed solenoids

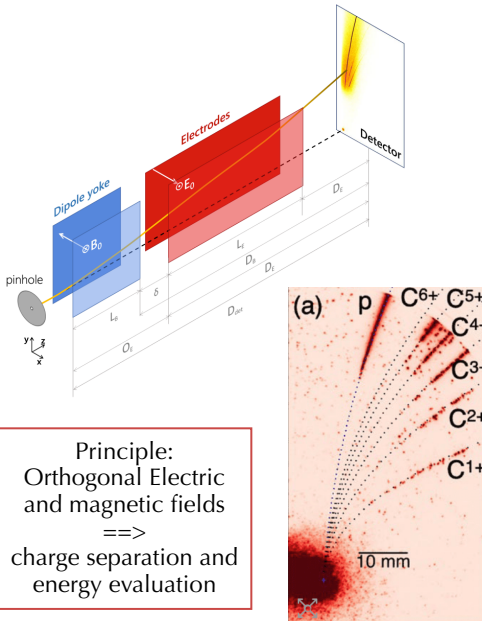
F Kroll et al. Nature Physics 18,
316–322 (2022)

Esempi di rivelatori attivi

35

Thomson-like spectrometer

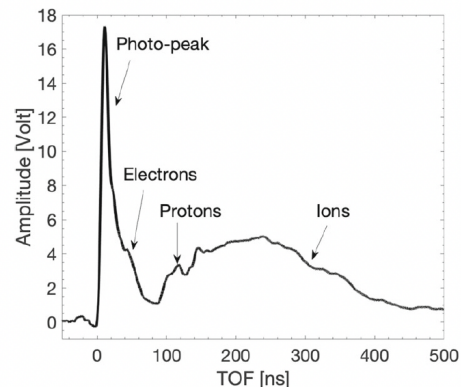
Particle max energy
Plasma species detection
Energy spectra if properly calibrated



A Alejo et al.
JNIST 11 C10005 (2016)

TOF - approach detectors

Particle max energy
Energy spectra

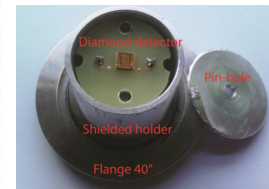
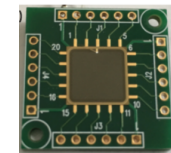


Typical Time of Flight spectra



Energy spectra
can be derived

New generation of Silicon Carbide
(left), Diamonds, Faraday Cups
properly shielded for the EMP, are
often used in this configuration



A diamond detector typically used
in laser-driven experiments

M Marinelli et al.
JNIST 11 C10005 (2016)

G Milluzzo et al.
Review of Scientific Instruments 90,
083303 (2019); SI 11 C10005 (2016)

Scintillators both in single and stack configuration

Beam profile and energy spectra
reconstruction

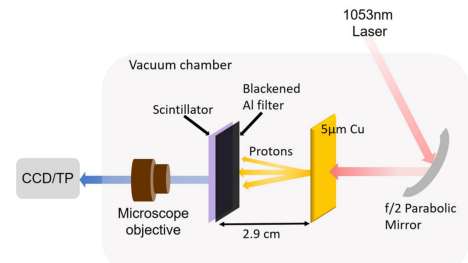


FIG. 1. A schematic of the experimental setup. A 1053 nm high intensity laser pulse is focused by a f/2 parabolic mirror onto a 5 μm Cu target to generate TNSA proton beams. The proton beam is measured either by the TP spectrometer to measure the energy spectrum or by the scintillator imaged onto a CCD with/without a microscope objective system to diagnose the spatial resolution.

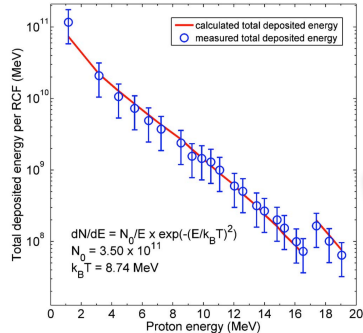
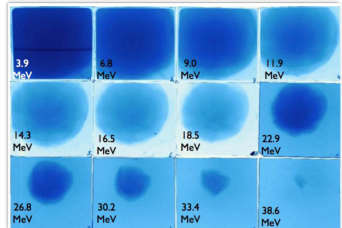
H Tang et al.
Rev. Sci. Instrum. 91, 123304
(2020);

Esempi di rivelatori passivi

36

Radiochromic films

beam profile and energy spectra reconstruction



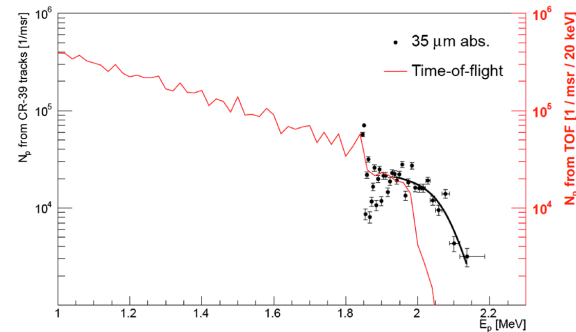
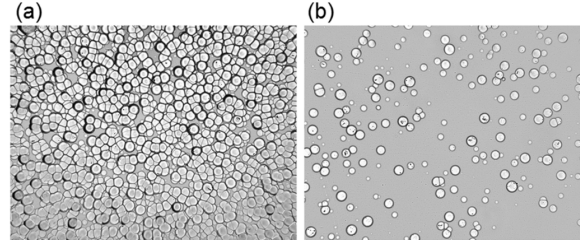
TRIDENT laser-driven protons
RAL (UK)

F Nürnberg, et al.
Review of Scientific Instruments 80, 033301 (2009);

CR39

Flux measure
Energy spectra

Microscopic images of CR-39 samples exposed to a single laser shot (example 3), covered with (a) 25 μm and (b) 35 μm of aluminum, respectively.

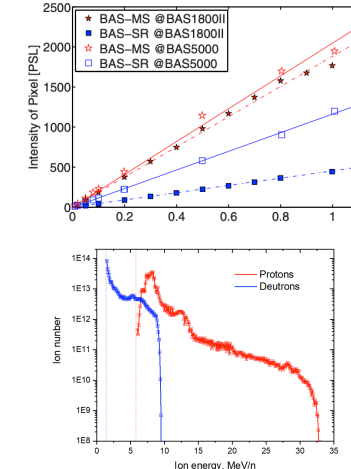


M Seimetz, et al.
Review of Scientific Instruments 89, 023302 (2018);

Image plate are photostimulable phosphor screen [BaFBr:Eu²⁺]

Flux measure
Energy spectra
Beam distribution

PSL: photo stimulated luminescence



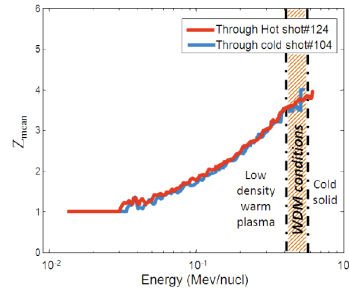
Laser -driven spectra of protons and deuterons

D O Gloving et al.
JINST 16 T02005 (2021);

Cos'altro possiamo fare?

37

Interaction of ion beams with plasmas (charge exchange, stopping, etc)



M. Gauthier, et al., Phys. Rev. Lett. **110**, 135003 (2013)

Thanks for Listening



Left to right:

Roberto Catalano, Davide Passarello, Pablo Cirrone, Emilio Zappalà, Nino Amato, Luciano Pandola, Giuliana Milluzzo, Michèle Costa, Mariacristina Guarrrera, Serena Fattori, Antonio Russo, Beatrice Cagni, Aimé Kurmanova, Carmen Altana, Andrea Matamoros, Giuliana Navarra, Salvo Tudisco, Giacomo Cuttone, Giada Petringa, Gustavo Messina

INFN-LNS Medical Physics Group - Catania, April 30, 2021